時間移転性向上のための モデル更新法の選択基準

三古 展弘1

¹正会員 神戸大学大学院准教授 経営学研究科(〒657-8501 神戸市灘区六甲台町2-1) E-mail: sanko@kobe-u.ac.jp

需要予測において、古い時点と新しい時点のデータが利用可能な場合、2時点のデータを用いるモデル更新法(その場合、どのモデル更新法)を利用するか、新しい時点のデータのみを利用するか検討が必要である。しかし、2時点のサンプル数がどのような場合に、どの方法を採用するべきかは明らかではない。本研究では、中京圏の出勤交通手段選択行動を対象にブートストラップ法を用いて分析する。その結果、(1) 新しい時点のサンプル数が多い場合には新しい時点のサンプルのみを用いるのが良く、(2) 新しい時点のサンプル数が少ない場合、2時点の文脈の差と古い時点のサンプル数に応じてTransfer scaling、Joint context estimation、Combined transfer estimationを用いるのが良い。

Key Words: temporal transferability, model updating, travel demand forecast, sample size, bootstrap, mode choice model

1. はじめに

交通需要予測においては新しい時点の多数のデータを用いることが重要である。新しい時点のデータを用いたモデルと古い時点のデータを用いたモデルを比較し,前者のほうがより良い予測をもたらすことが報告されている(Dissanayake et al., 2012^{11} ; Duffus et al., 1987^{21} ; Elmi et al., 1999^{31} ; Sanko, 2014^{41} ; Sanko et al., 2009^{51}) . また,多数のデータを用いてモデルを構築するほうがより良い予測を行えることが知られている(Hensher et al., 2005^{51}) . もちろん,サンプル数が同じであれば,新しい時点のデータを用いるほうが良く,また,データ収集時点が同じであれば,サンプル数が多いほうが良い.しかし,分析者が常に新しい時点の多数のサンプルを使って予測モデルを構築できるわけではない.

分析者が古い時点のサンプルには多数アクセスできるが、新しい時点のサンプルには少数しかアクセスできない場合は多いと思われる.これは、次のようなときに発生すると考えられる.1つ目に、既に手元に古い時点の多数のサンプルと新しい時点の少数のサンプルがある場合である.2つ目に、既に手元に古い時点の多数のサンプルがあるが、新たにデータを収集しようとする場合である.2つ目のケースは、多くの都市圏では大規模な交通調査が低い頻度で行われていることを考えると、より

現実的な設定であると言える。例えば、パーソントリップ調査は日本の3大都市圏では10年に1回実施されており、最新のデータでも10年前に収集されたものであることがある。このとき、新しいデータの収集を検討することもあると考えるが、大規模な調査を独自に行うことは困難であり、独自調査のサンプル数は小さいものにならざるを得ない。

古い時点の多数のデータと新しい時点の少数のデータがあった場合,データの利用方法は次の3つが考えられる.

- [1] 古い時点の多数のデータと新しい時点の少数のデータを両方使用
- [2] 新しい時点の少数のデータのみを使用
- [3] 古い時点の多数のデータのみを使用

[1]の方法はモデルの更新法として知られており、古い時点の多数のサンプルで構築したモデルを、新しい時点の少数のサンプルで更新するものである。モデルの更新法としてはいくつかの方法が提案されているが、どのような場合に(具体的には、古い時点と新しい時点のサンプル数がいくらの場合に)どのモデル更新法が適切かは分かっていない。さらに、もし、1時点のデータのみを用いた[2]や[3]の方法が優れているのであれば、2つの

時点のデータが利用可能であるからといって, [1]の方法を用いる必要は全くない. したがって, [1]~[3]のうち, 最も良い方法を適切に選択する必要がある.

筆者は1時点のデータのみを用いる[2]と[3]の場合を比較し、[3]の古い時点の多数のサンプルのみを用いたモデルが[2]の新しい時点の少数のサンプルのみを用いたモデルよりも統計的に有意に高い予測精度をもたらすことは全くないことを示した(三古⁷、Sanko⁸). したがって、本研究では、[3]を除外し、[1]のいくつかのモデル更新法と[2]の新しい時点の少数のサンプルのみを用いた場合を検討する. なお、三古⁹、Sanko¹⁰では、[1]と[2]の比較を行っていたが、[1]のモデル更新法としてTransfer scalingしか検討していなかった. 本研究ではこれを発展させ、モデルの更新法[1]についてTransfer scaling、Joint context estimation、Bayesian updating、Combined transfer estimationを検討する.

本研究は実務的には次の問いに答えることができると 考える.

- 1. 古い時点の多数のデータと新しい時点の少数のデータがあるとき、新しい時点のデータのみでモデルを構築するのが良いのか、古い時点のデータを用いたモデルを更新するのが良いのか(もしそうならどのモデル更新法が良いのか).
- 2. 既存のデータがあるが、その後の交通状況の変化を反映するために新しいデータで分析したい. しかし、時間や費用などの制約から小規模な調査しか行えない. このとき、どのくらいのサンプル数のときに新しい時点のデータのみでモデルを構築するのが良いのか、古い時点のデータを用いたモデルを更新するのが良いのか(もしそうならどのモデル更新法が良いのか). また、小規模な調査を行うときにどの程度のサンプル数を得ることを目標に調査を行えばよいのか.

いま,この問題を分析するに当たって、中京都市圏で得られた1971、1981、1991、2001年のパーソントリップ調査データが利用可能である。ここでは、1971、1981、1991年の3時点のデータをモデルの構築と更新に用い、2001年のデータを予測の検証のみに用いる。1971、1981、1991年から2つの時点(1つは古い時点、1つは新しい時点)を抽出し、それぞれの時点から様々なサンプル数(100から10000の範囲の12通り)のデータをランダムに抽出する。したがって、この分析では、古い時点と新しい時点のサンプル数がどの程度の場合に、どのモデル更新法または新しい時点のデータのみを用いたモデルが2001年の予測を最も良く行うことができるか、に対する答えを導くことが可能である。さらに、今回はモデルの

構築と更新に用いるデータが得られた2時点として、1971と1981年、1971と1991年、1981と1991年の3通りを検討することができる。また、統計的に意味のある知見を得るために、ブートストラップ法を用いる。パーソントリップ調査はこれまで同一の政府機関によって実施されており、調査方法が時点間で安定している。そのため、今回の分析でサンプル数以外の要因がコントロールされていると仮定することは妥当と考える。

本研究は、この問題について統計的検定を用いて知見を得ようとする初めての試みであることから、分析を可能な限り簡略化する。モデルの複雑性は主たる興味の対象ではなく、簡単な多項ロジットモデルを用いる。使用するデータは1971~2001年のパーソントリップ調査データであり、最新の2001年のデータも14年前のものであるが、これも主たる興味の対象ではない。

本論文は以下のように構成される。まず、2章において関連する既存研究を紹介する。3章ではデータを説明する。4章では方法論について説明する。多項ロジットモデル、モデル更新法、ブートストラップ、仮説の検定法について説明する。5章ではパラメータ推定値、予測精度の特徴と統計的検定を行い、モデル更新法選択の基準について検討する。最後に、6章で結論を述べる。

2. 既存研究のレビュー

これまで、時間移転性を対象にどのモデル更新法が適切かを分析した研究は多くないが、以下の2つを挙げることができる.

Badoe and Miller¹¹はカナダのトロントで1964年から得られた多数のサンプルと1986年から得られた少数のサンプルを用い、1964年のサンプル数は変化させずに1986年のサンプル数のみを変化させたときの1986年の予測精度を比較している。分析の対象はピーク時の出勤交通手段選択行動である。なお、この研究ではデータが2時点からしか得られていないため、2時点目の1986年のデータをモデルの更新にも予測の検証にも用いているという問題がある。予測に用いるモデルは、4種類のモデル更新手法を用いたモデルと1986年の少数のサンプルのみを利用したモデルである。その結果、1986年のサンプルが400から500程度あれば、1986年のデータのみを用いたモデルと、このデータに加えて1986年の多数のサンプルを用いたモデルの間に、予測精度にほとんど差がないという結論が得られている。

同様の分析をKarasmaa and Pursula¹²はフィンランドのヘルシンキの1981年と1988年のデータを用いて出勤時の交通手段・目的地選択モデルを対象に行い、類似の結論を得ている.

本研究の基本的な考え方は、2つの既存研究と類似し

ているが、以下のような工夫をし、より意味のある知見 が得られるようにしている.

- 1. 既存研究では古い時点のサンプル数が固定されているため、古い時点のサンプル数が変わった場合については検討できない. 本研究では古い時点と新しい時点の両方のサンプル数を変化させる.
- 2. 既存研究ではデータが2時点からしか得られていないため、2時点目のデータをモデルの更新にも予測の検証にも用いている. 本研究では4時点のデータを使って3時点をモデルの構築と更新に使用し、残った1時点をモデルの検証に使用する.
- 3. 既存研究では新しい時点での様々なサンプル数を ランダムに抽出しているが、その抽出を1回しか行 っておらず偶然性に左右される. 本研究では、ブ ートストラップ法を用いて統計的に意味のある結 論を導き出す.

3. データ

中京都市圏において1971, 1981, 1991, 2001年の4時点で得られた繰り返し断面データである,パーソントリップ(PT)調査データを用いる。モデルの構築と更新には1971, 1981, 1991年のデータを用い、2001年のデータはモデルの予測精度の検証にのみ用いる。本研究で分析の対象とするのは鉄道,バス,自動車の3選択肢からの通勤交通手段選択行動である。データの詳細については三古がまたはSanko®を参照されたい。しかし、ここでは2点について再度強調しておく。1つ目に、通勤の費用については通勤手当が支給されることが多いため考慮しない。2つ目にモータリゼーションが急激に進んだことである。推定のためにデータを整理した後のサンプルを見ると1971, 1981, 1991, 2001年の交通手段のシェアは、鉄道:28%,28%,26%,25%,バス:21%,9%,5%,3%,自動車:51%,63%,68%,72%となっている。

4. 方法論

本研究の目的は、統計的な検定を用いて複数のモデル 更新法を比較することである。このような観点からの研究はこれまでにないので、本研究では分析を簡略化する ため、多項ロジットモデルを採用する。しかし、ここで 説明する方法論は、他のモデル構造の場合にも適用可能 である。本章では、(1)節で多項ロジットモデルを説明 し、(2)節でモデルの更新法を説明する。(3)節では今回 の分析におけるブートストラップ法を利用したモデル更 新法の優劣の検定について説明する。なお、以下の説明 で、古い時点と新しい時点をそれぞれれと2と表記する.

(1) モデル

ランダム効用理論に基づき、全効用を確定項と誤差項に分けて表現する。個人pの選択肢iに対する時点t(ここではt1とt2を区別しないで定式化する)における効用関数の確定項 V'_{in} を式(1)のように定式化する.

$$V_{ip}^{t} = \mu^{t} \left(\alpha_{i}^{t} + \sum_{k} \beta_{ik}^{t} x_{ikp}^{t} \right)$$
 (1)

ここに、 μ^t は時点tのスケールパラメータ、 α_i^t は時点tの選択肢iの選択肢固有定数項、 x_{ikp}^t は時点tの個人pの選択肢iに対するk番目説明変数、 β_{ik}^t はそれに対応するパラメータである.

誤差項に独立で同一なばらつきを持つガンベル分布を 仮定すると、時点において個人pが選択肢iを選択する確率 P_{in}^{t} は式(2)のロジット式で表現される.

$$P_{ip}^{t} = \frac{\exp(V_{ip}^{t})}{\sum_{j} \exp(V_{jp}^{t})}$$
 (2)

このとき、対数尤度関数は式(3)で表現される.

$$L^{t} = \sum_{p} \sum_{i} y_{jp}^{t} \ln \left(P_{jp}^{t} \right) \tag{3}$$

ここに、 y_{jp}^{\prime} は時点tで個人pの選択結果が選択肢jであったとき1、そうではないとき0となるダミー変数、パラメータは(3)式を最大化することによって推定される。

(2) モデルの更新

ここでは、以下の5つのモデル更新法を検討する. なお、新しい時点のデータのみを用いたモデルもモデル更新法の1つとしてここで説明する. それぞれのモデル更新法については簡単のため、以下では適宜略称を使うことにする. Transfer scalingは定数項とスケールパラメータを推定することから、constantのcst、Joint context estimationはjnt、Bayesian updatingはbay、Combined transfer estimationはcomである. また、新しい時点のデータのみを用いたモデルは新しい時点のサンプルは小さいことからsmallのsmaとする.

a) Transfer scaling (略称: cst)

上の(1)節でt=t1を代入してモデルを推定する。ただし、識別のため、スケールパラメータは1に固定する。このとき、時点t2において個人pが選択肢iを選択する確率 P_{in}^{t2} は式(4)で表現される。

$$P_{ip}^{t2} = \frac{\exp\left(\mu^{t2} \left(\alpha_{i}^{t2} + \sum_{k} \left(\hat{\beta}_{ik}^{t1} x_{ikp}^{t2}\right)\right)\right)}{\sum_{j} \exp\left(\mu^{t2} \left(\alpha_{j}^{t2} + \sum_{k} \left(\hat{\beta}_{jk}^{t1} x_{jkp}^{t2}\right)\right)\right)}$$
(4)

ここに、^は推定値を意味する.

ここで、 \mathbf{x} と \mathbf{y} については $t=\mathbf{t}2$ のデータを用い、また、式(3)と(4)を用いることで、 $\boldsymbol{\mu}^{t2}$ と $\boldsymbol{\alpha}^{t2}$ のみを推定する.なお、説明変数に関するパラメータ $\hat{\boldsymbol{\beta}}^{t1}$ はそのまま用いる.

モデルの予測精度は式(3)の2001年のデータへの対数尤度で表現される. これは、推定されたパラメータ $\hat{\boldsymbol{\beta}}^{t1}$ 、 $\hat{\boldsymbol{\alpha}}^{t2}$ 、 $\hat{\boldsymbol{\mu}}^{t2}$ 、2001年の説明変数 \mathbf{x} と選択結果 \mathbf{y} を式(1)~(3) に代入することによって計算される.

b) Joint context estimation (略称: int)

これは、2つの時点のデータを同時に使ってモデルを推定する方法である。時点t1のデータを用いて式(1)を書き、時点t2のデータを用いて式(1)を書く。ただし、時点t1とt2で説明変数に関するパラメータは共通とする($\beta^{t1}=\beta^{t2}$)が、定数項(α^{t1} , α^{t2})は時点t1とt2で異なると考える。スケールパラメータは識別の問題から、時点t1においては1に固定する($\mu^{t1}=1$)が、時点t2においては μ^{t2} をデータから推定する。

モデルの推定はt1のデータを用いた式(3)、t2のデータを用いた式(3)を書き、その和を最大にするようにして行う.

モデルの予測精度は式(3)の2001年のデータへの対数尤度で表現される。これは、推定された説明変数のパラメータ($\hat{\boldsymbol{\beta}}^{t1}=\hat{\boldsymbol{\beta}}^{t2}$)、時点t2の定数項($\hat{\boldsymbol{\alpha}}^{t2}$)、時点t2のスケールパラメータ($\hat{\boldsymbol{\mu}}^{t2}$)、2001年の説明変数 \mathbf{x} と選択結果 \mathbf{y} を式(1)~(3)に代入することによって計算される。

c) Bayesian updating (略称: bay)

上の(1)節でt=t1を代入してモデルを推定する. ただし、識別のため、スケールパラメータは1に固定する. このときのモデルのパラメータを $\left(\hat{\boldsymbol{\alpha}}^{t1}\middle|\hat{\boldsymbol{\beta}}^{t1}\right)$ (これは列ベクトル $\hat{\boldsymbol{\alpha}}^{t1}$ の下に列ベクトル $\hat{\boldsymbol{\beta}}^{t1}$ をつけた列ベクトルを表す)、分散共分散行列を $\hat{\boldsymbol{\Sigma}}^{t1}$ とする. 同様に、上の(1)節でt=t2を代入してモデルを推定する. 識別のため、スケールパラメータは1に固定する. このときのモデルのパラメータを $\left(\hat{\boldsymbol{\alpha}}^{t2}\middle|\hat{\boldsymbol{\beta}}^{t2}\right)$ 、分散共分散行列を $\hat{\boldsymbol{\Sigma}}^{t2}$ とする.

このとき、更新されたパラメータは式(5)で示される.

 $\begin{pmatrix} \boldsymbol{\alpha}^{up} \\ \boldsymbol{\beta}^{up} \end{pmatrix} = \left(\left(\hat{\boldsymbol{\Sigma}}^{t1} \right)^{-1} + \left(\hat{\boldsymbol{\Sigma}}^{t2} \right)^{-1} \right)^{-1} \left(\left(\hat{\boldsymbol{\Sigma}}^{t1} \right)^{-1} \left(\hat{\boldsymbol{\alpha}}^{t1} \right) + \left(\hat{\boldsymbol{\Sigma}}^{t2} \right)^{-1} \left(\hat{\boldsymbol{\alpha}}^{t2} \right) \right) \tag{5}$

モデルの予測精度は式(3)の2001年のデータへの対数尤度で表現される.これは、更新されたパラメータ α^{uv} 、 β^{uv} 、スケールパラメータ1、2001年の説明変数xと選択結果yを式(1)~(3)に代入することによって計算される.

d) Combined transfer estimation (略称: com)

c)のBayesian updatingと同じようにt = t1とt = t2においてモデルを構築する.ここで,Bayesian updatingでは, $\left(\alpha^{t1} \middle| \beta^{t1}\right) = \left(\alpha^{t2} \middle| \beta^{t2}\right) = \left(\alpha^{up} \middle| \beta^{up}\right)$ となることを仮定していたが,Combined transfer estimationでは,バイアスとして $\Delta = \left(\alpha^{t2} \middle| \beta^{t2}\right) - \left(\alpha^{t1} \middle| \beta^{t1}\right)$ が存在すると考える.このとき,更新されたパラメータは式(6)で示される.

$$\begin{pmatrix} \boldsymbol{\alpha}^{up} \\ \boldsymbol{\beta}^{up} \end{pmatrix} = \left(\left(\hat{\boldsymbol{\Sigma}}^{t1} + \boldsymbol{\Delta} \boldsymbol{\Delta}' \right)^{-1} + \left(\hat{\boldsymbol{\Sigma}}^{t2} \right)^{-1} \right)^{-1} \\
\left(\left(\hat{\boldsymbol{\Sigma}}^{t1} + \boldsymbol{\Delta} \boldsymbol{\Delta}' \right)^{-1} \left(\hat{\boldsymbol{\alpha}}^{t1} \\ \hat{\boldsymbol{\beta}}^{t1} \right) + \left(\hat{\boldsymbol{\Sigma}}^{t2} \right)^{-1} \left(\hat{\boldsymbol{\alpha}}^{t2} \\ \hat{\boldsymbol{\beta}}^{t2} \right) \right) \tag{6}$$

このとき $\Delta = 0$ とおけば、c)と一致するので、これは Bayesian updatingの一般化である.

モデルの予測精度に関する計算はc)のBayesian updating で説明したのと全く同じである.

e) Small sample, 新しい時点の小さいサンプルのモデル (略称: *sma*)

上の(1)節でt=t2を代入してモデルを推定する。ただし、 識別のため、スケールパラメータは1に固定する。モデルの予測精度は式(3)の2001年のデータへの対数尤度で表現される。これは、推定されたパラメータ($\hat{\beta}^{t2}$)、スケールパラメータ1、2001年の説明変数xと選択結果yを式(1)~(3)に代入することによって計算される。

(3) ブートストラップ¹³⁾

まず、1971、1981、1991年のデータから通勤トリップをランダムに10000サンプルずつ抽出した。各年から同じサンプル数を抽出するのは、そこからブートストラップを行うことになる、サンプル数の違いが結果に与える影響を避けるためである。また、10000サンプルとしたのは、ブートストラップにおける計算時間を節約するた

めである. また, 予測対象年の2001年からもランダムに 10000サンプルを抽出して検証に用いる.

ここで、3つの変数y, n, bを導入する.

- yはデータ収集年であり、以下の3時点を考える: 1971,1981,1991
- *n*はサンプル数であり、以下の12通りを考える:100, 200, 300, 400, 500, 600, 700, 800, 900, 1000, 2000, 10000
- bはブートストラップの繰り返し回数であり200回繰り返す: b=1,2,...,200

まず、それぞれのデータ年y(1971,1981,1991の3通り)においてサンプル数n(100,200,300,400,500,600,700,800,900,1000,2000,10000の12通り)のデータを先に抽出した10000サンプルから200(b=1,2,...,200)回ランダムに復元抽出する。このとき、同じデータ年yのb回目の抽出において、nが小さいサンプルはnが大きいサンプルの一部分になるように抽出している。これによってy、nおよびbの組み合わせからなる3×12×200=7200通りのデータが生成された。

本研究では、古い時点の多数のサンプルと新しい時点の少数のサンプルを同時に検討するので、さらに、次の変数を導入する。まず、yに関して、古い時点と新しい時点をそれぞれyı、y2とする。また、古い時点と新しい時点から得られたサンプル数をそれぞれmı、m2とする。数式で表現すると、y1 < y2およびm ≥ m2となる。1つ目の不等式はすい時点のサンプル数mが新しい時点のサンプル数mが新しい時点のサンプル数mを等しいかまたは大きいことを示している。y1、y2、m1、m2について考えられる組み合わせは、yに関する3通りの組み合わせ((y1,y2)=(1971,1981)、(1971,1991)、(1981,1991))とnに関する78通りの組み合わせ(12×13/2)の3×78=234通り考えられる。ここで、それぞれのy1、y2、m1、m2について必要となる作業を説明する。

まず、 y_1 の時点のデータのみを用いて200回、 y_2 の時点のデータのみを用いて200回の推定を行う。そして、(2) 節のa)~e)で必要になる作業を説明する.

- a)のTransfer scalingでは、y1の時点のデータを用いた 200回の推定結果のそれぞれについてy2の時点のデータを用いて更新するために推定が必要である。
- b)のJoint context estimationでは y_1 と y_2 の時点のデータであるm + mサンプルを同時に使ってモデルを200回推定する必要がある.
- c)のBayesian updatingおよびd)のCombined transfer estimationにおいてはy1の時点のデータ, y2の時点のデータを用いたモデルの推定値を使って計算するだけなので新たに推定を行う必要はない。
- e)については既に行ったy2の時点のデータを用いた 推定結果を用いればよいので新たに推定をする必要 はない.

以上をまとめると、次のそれぞれの場合について200回ずつ推定を行う必要がある。つまり、 y_1 のみを使った場合、 y_2 のみを使った場合、Transfer scaling、Joint context estimationである。したがって、 $200\times4=800$ 回の推定が必要になる。先ほど述べたように、本研究では、 y_1 、 y_2 、 m_1 、 m_2 に関しては234通りの場合があることから、合計で $800\times234=187200$ 回の推定を行う必要がある。しかし、1971年のデータを用いてモデルを推定すれば、それは1981年のデータで更新する場合にも1991年のデータで更新する場合にも1991年のデータで更新する場合にも187200回推定を行う必要はない。

予測精度を2001年のデータへの対数尤度で表現する. y_1 時点のサンプル数 m_1 , y_2 時点のサンプル数 m_2 におけるb回目の抽出データにおいて、モデル更新法 m_3 による予測精度を $Lm(y_1,y_2,m_1,m_2,b)$ と表現する. ただし、 m_3 はモデル更新法を示し、cst (Transfer scaling), jnt (Joint context estimation), bay (Bayesian updating), com (Combined transfer estimation), sma (Small sample, 新しい時点のデータのみを用いたモデル)である. なお、smaでは新しい時点のデータしか用いていないということを明示的に示すため、 $Lsma(\bullet,y_2,\bullet,m_2,b)$ と書くこともできる.

(4) 仮説検定

ここでは、 y_1 、 y_2 、 n_1 、 n_2 が同じときに、どのモデル更新法が統計的に優れているかを検定する方法を説明する。いま、 $y_1 < y_2$ かつ $n_1 \ge n_2$ を満足する y_1 、 y_2 、 n_1 、 n_2 の組み合わせのそれぞれについて、異なるモデルの更新法 m_1 と m_2 によって将来予測が行われたとき、以下の変数を定義する。

$$x_b = Lm1(y_1, y_2, n_1, n_2, b) - Lm2(y_1, y_2, n_1, n_2, b)$$
 (7)

なお、ここで総てのb (= 1, 2, ..., 200)に対して良好な推定結果が得られるわけではない。特にnやnが小さい場合においてこのことは問題となる。そこで、式(7)のnは、b回目のランダム抽出のときにLm1とLm2の両方が計算されたときにのみ、定義されることとする。

 x_0 の意味しているところは、この値が正であれば、更新法m1のほうがm2よりも優れているということである。ここで、帰無仮説 H_0 と対立仮説 H_1 を下に示す。

 $H_0: x_b = 0$ $H_1: x_b \neq 0$

ここで、次のzを定義する.

表―1 各時点のデータを個別に用いたモデルの推定結果

		1971		1981		1991		2001ª
Variables	Est.	t-stat.	Est.	t-stat.	Est.	t-stat.	Est.	t-stat.
Constant (B)	0.127	2.42	-0.392	-6.21	-0.638	-8.98	-1.03	-12.11
Constant (C)	-1.15	-9.84	-0.645	-4.65	0.301	1.96	0.560	2.23
Travel time [hr]	-0.606	-6.94	-1.81	-16.47	-1.59	-15.71	-2.60	-20.48
Male dummy (R)	0.577	8.59	0.787	8.70	0.812	7.53	0.511	3.89
Male dummy (C)	1.97	29.44	2.17	25.22	1.78	17.30	1.38	10.91
20 years old or older dummy (C)	0.900	8.28	0.764	5.78	0.776	5.18	0.511	2.06
65 years old or older dummy (B)	1.91	8.89	1.37	5.73	1.33	5.59	0.561	2.05
Nagoya dummy (C)	-1.12	-24.08	-1.77	-33.21	-2.18	-37.81	-2.21	-36.70
N (randomly drawn)		10000		10000		10000		10000
$L(\boldsymbol{\beta})$	-7776.86		-5985.02		-5300.58		-4716.28	
L(0)	-8948.26		-8593.88		-8398.85		-8159.63	
Adj rho-squared	0.130		0.303		0.368		0.421	
Log-likelihood on 2001 data		-6521.95		-5225.15		4801.79	Not a	pplicable

Note: (R), (B), and (C) notations refer to alternative-specific variables for rail, bus, and car, respectively. Variables without notations are generic. a 2001 is the target year of forecast, and a model from 2001 is not required but is presented for a comparison purpose.

$$z = \frac{\overline{x_b}}{s(x_b)} \tag{8}$$

ここに、 $\frac{1}{x_b}$ と $s(x_b)$ はそれぞれ、 x_b の平均と標準偏差. ここで、 x_b が標準正規分布に従っていると仮定すると、z > 1.96のときに更新法 x_b 1のほうが更新法 x_b 2よりも5%の有意水準で予測精度が高いことを示している.

5. 結果

ここでは、まず10000サンプルを使ったモデルの推定 結果について述べ、予測精度の特徴と統計的検定の結果 を説明する.

(1) 推定結果

モデル化にあたって、男性ダミー(男性=1、女性=0), 20歳以上ダミー(20歳以上=1, 19歳以下=0), 65歳以上 ダミー(65歳以上=1, 64歳以下=0), 名古屋ダミー(名古屋市を出発地または到着地とする=1, そうではない=0)を定義した。モデルの変数の記述統計とその解釈は三古っとSanko®に示されているが、重要な点についてのみ再度説明する。1971, 1981, 1991, 2001年の順に, 20歳以上のシェアは94.1%, 96.2%, 97.1%, 98.8%, 65歳以上のシェアは1.5%, 1.6%, 2.1%, 3.1%となっている。極めて高い20歳以上のシェアときわめて低い65歳以上のシェア, 3章で示された小さいバスのシェアの影響により、以下の分析においてサンプル数が小さいときに推定に問題が発生することがある。

各時点から抽出した10000サンプルのデータを用いて モデルを構築した結果を表-1に示す. 1971, 1981, 1991年のデータを用いたモデル推定結果のほかに予測対象時点の2001年のデータを用いたモデルの推定結果も示す.本論文では以降もここでのモデル特定化を用いて分析を進める.なお、3章で述べたように費用の変数は含まれていないことに注意が必要である.モデルの解釈は三古っとSanko®を参照されたいが、重要な点について再度述べておく.2001年に近い時点のモデルほど推定値が2001年の値に近い.したがって、2001年のデータに適用した予測精度(Log-likelihood on 2001 dataの行)は、高い順に1991、1981、1971年の順になっている.推定値の増加あるいは減少傾向はSanko®によって内生的にモデル化され、それが予測精度の向上に寄与することが示されているが、これは本研究での興味の対象外である.

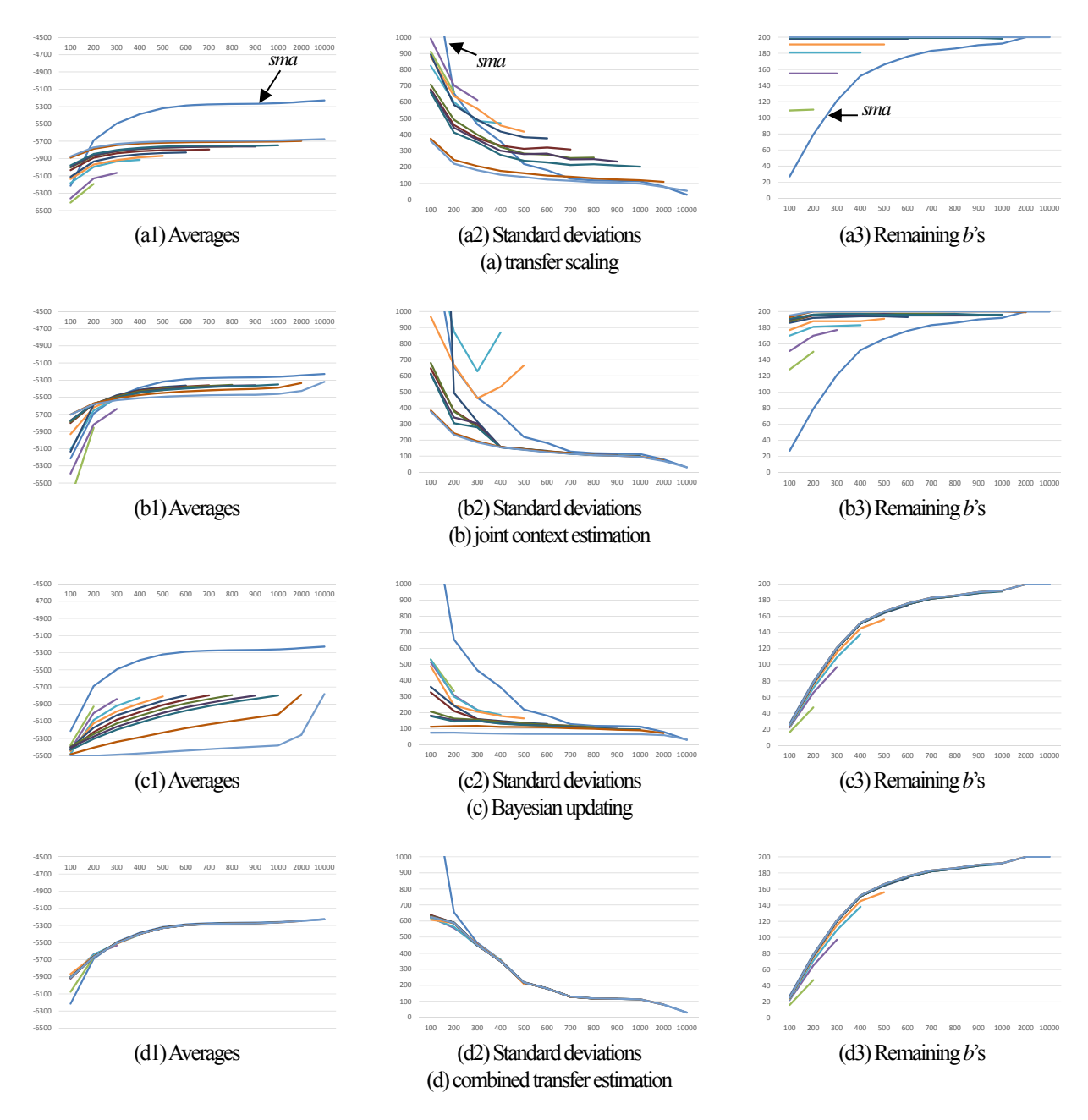
表―1の1971年のモデルを1981, 1991年の10000サンプルのデータを用いて定数項とスケールパラメータを更新した場合, 1981年のモデルを1991年の10000サンプルのデータを用いて更新した場合の, 定数項とスケールパラメータの推定値, またそのモデルによる予測精度は三古%を参照されたい.

それ以外のモデル更新法の場合に全10000サンプルを 用いた推定結果と予測精度については紙幅の都合で省略 する.

(2) 予測精度の特徴

本節ではブートストラップによる予測精度の特徴を示す.ここでは, (y_1, y_2) =(1971, 1981)の結果のみを紹介する. (y_1, y_2) =(1971, 1991),(1981, 1991)については紙幅の都合により省略し,必要な場合には本文で紹介する.

図-1に、2001年データへの対数尤度で表される予測精度 $Lm(y_1=1971,y_2=1981,n_1,n_2,b)$ の平均値と標準偏差を



Note: Horizontal axis, representing the number of observations from the recent 1981 (n_2), does not have an equal interval. Lines of both $n_1 = 10000$ and m = sma appear in the entire 100–10000; both lines are in blue, but the darker and widely fluctuating one is the m = sma. 図一1 予測精度の特徴 ($y_1 = 1971$, $y_2 = 1981$)

示す. 先にも述べたように、nrやnzが小さい場合、モデルの推定に問題が発生することもある. ここでの平均値と標準偏差はb=1,2,...,200のうち、推定結果および予測結果が得られたもののみについて算出した. また、問題の発生した場合を除いたあとに残ったbの数についても示した.

図—1は12枚のパネルから構成され、それぞれのパネルは(a)~(d)および(1)~(3)の2つの記号の組み合わせで表現される. (a), (b), (c), (d)はそれぞれ、cst, jnt, bay, comのモデル更新法を示している. (smaについては別のパネルを設けないで、全部のパネルに比較の基準として示している.) (1), (2), (3)はそれぞれ、Lmの平均,

Lmの標準偏差,残ったbの回数を示している。それぞれのパネルにおいて,横軸には新しい時点1981年のサンプル数mがとられていて,縦軸にはパネル(1),(2),(3)のそれぞれについてLmの平均,Lmの標準偏差,残ったbの回数を示している。

それぞれのパネルにおいて、12本の線が12通りのm (=100, 200, ..., 10000)について描かれている。これに加えて、m = smaの線も描かれている。この図には凡例がないので分かりづらいようにも思うが、 $n_1 \ge n_2$ が満たされる n_2 の範囲においてのみ描かれているという特徴を理解すれば、その読み取りは容易である。m = 100まで描かれている線は1本しかなく、これはm = 100を表している。

m=200まで描かれている線は1本しかなく、これはm=200を表している。以下mが大きくなったときも同様である。ただし、注意が必要なのは $m=100\sim10000$ の範囲で描かれている線は2本存在することであり、1本はm=10000であり、もう1本はm=smaである。どちらも青系統の色で描かれているが、濃いほうの図の中での触れ幅の大きいほうがm=smaである。

(a1), (b1), (c1), (d1)の総てのパネルにおいて, cst, jnt, bay, com, smaは概ね右肩上がりである. つまり, n_1 が 同じであれば、新しい時点からのサンプル数元が大きい ほど、予測精度が平均してよくなることを示している. 一方, 古い時点のサンプル数mが大きい場合の線のほう がmが小さい場合の線の上方に描かれているという特徴 がcstにおいて見られる. これは、古い時点のサンプル数 が大きくなると定数項以外のパラメータの移転性が高ま るためと考えられる.同様の傾向がniが小さいときのjnt においても見られるが、反対の傾向がmが大きいときの intにおいては見られた. Joint context estimationにおいて古 い時点のサンプル数mが大きくなることは次の2通りの 効果があると考えられる. 1つ目に、サンプル数が増え てパラメータが精度良く推定されるということである. 2つ目に、2つの時点でパラメータを同一にするという制 約の下で古い時点のサンプルが増えると、古い時点のデ ータを説明するようにパラメータが推定されるが、古い 時点のパラメータの移転性のほうが低いので、全体とし て移転性が低くなるということである. mが小さいとき には前者の効果が卓越し、mが大きいときには後者の効 果が卓越すると解釈できる. 古い時点のサンプル数niが 大きくなるとbayの予測精度は悪くなった. 古い時点の サンプル数が増えると古い時点のパラメータが精度良く 推定されるが、移転性の低い古い時点のパラメータに重 みをおくように更新するためであると考えられる. com については、mの違いはあまり影響を与えなかった.

ところで、smaの線が他のモデル更新法の線よりも上方に現れることがある.これは、新しいデータのみを用いてモデルを構築したほうが、古いデータで構築したモデルを新しいデータで更新するよりも良い予測を平均して行えることを示している.なお、1971と1981年の結果では、bayは必ずsmaの下に現れるという結果になっていたが、1981と1991年のデータを使った場合にはそうではない場合もあった.

(a2), (b2), (c2), (d2)の総てのパネルにおいて, cst, jnt, bay, com, smaは概ね右肩下がりであり, mが同じであれば, 新しい時点のサンプル数mが大きいほど, 予測精度のばらつきが小さくなる傾向にある. (ただし, パネル(b2), また, 1971 と1991年の(b2)と(c2)でも例外的な傾向が見られた.) このような傾向は200回のブートストラップの限界とも考えられる. 一方, 古い時点のサンプ

ル数mが大きい場合の線のほうがmが小さい場合の線の下方に描かれているという特徴がcstにおいて見られる. しかし、それ以外のモデル更新法の場合、はっきりした傾向は見られなかった.

(a3), (b3), (c3), (d3)の総てのパネルにおいて, cst, jnt, bay, com, smaは概ね右肩上がりであり, 新しい時点のサンプル数が大きくなると, 残ったブートストラップの回数も多いことを示している. 一方, 古い時点のサンプル数mが大きい場合の線のほうがmが小さい場合の線の上方に描かれている.

このことから、*sma*と比較した他のモデル更新法の特徴について次のように整理できる.

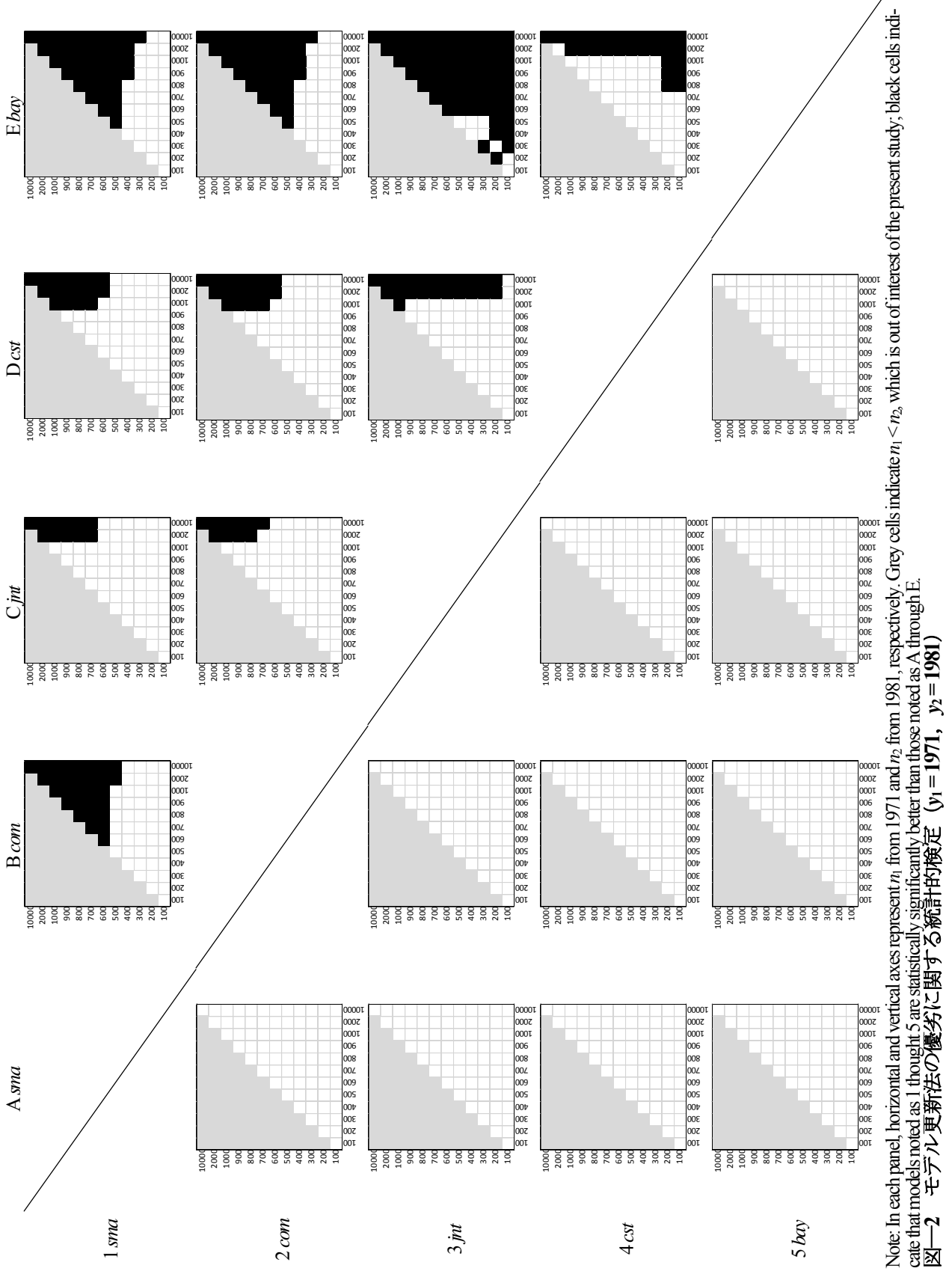
- cstとjntはmが大きくmが小さいときにsmaよりも予測精度が平均して良い(パネル(a1)と(b1)),予測精度のばらつきが小さい(パネル(a2)と(b2)),残ったbの回数が大きい(パネル(a3)と(b3)).
- bayはmが小さいときにsmaよりも予測精度が平均して良い(今回は示していない (y_1, y_2) =(1981, 1991)の場合のパネル(c1)),予測精度のばらつきが小さい(パネル(c2)),残ったbの回数が小さい(パネル(c3)). なお,予測精度のばらつきと残ったbの回数については3通りの (y_1, y_2) の全部において確認できた.

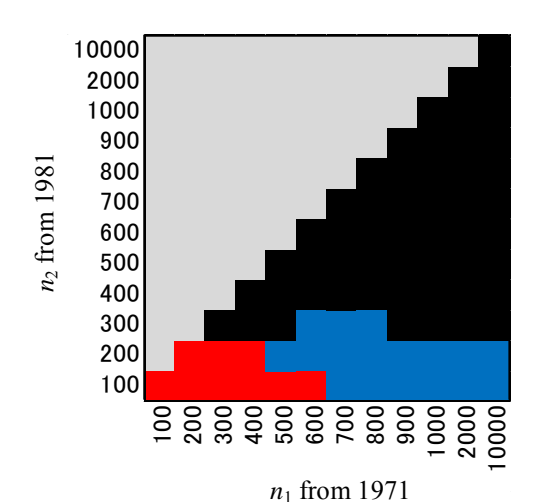
(3) 予測精度の差の検定

モデル更新法の優劣を検定した結果を図―2に示す.この検定は、先に定義したかに基づいているが、それは比較の対象となる2つのモデル更新法の両方で正しくモデルが構築されて、予測が得られた場合のみに定義される. 先ほどの図―1のパネル(a3), (b3), (c3), (d3)でそれぞれのモデル更新法を単独で行ったときの残っている繰り返し回数について示したが、ここでの残っている繰り返し回数は2つの方法を同時に考慮しているので注意が必要である.

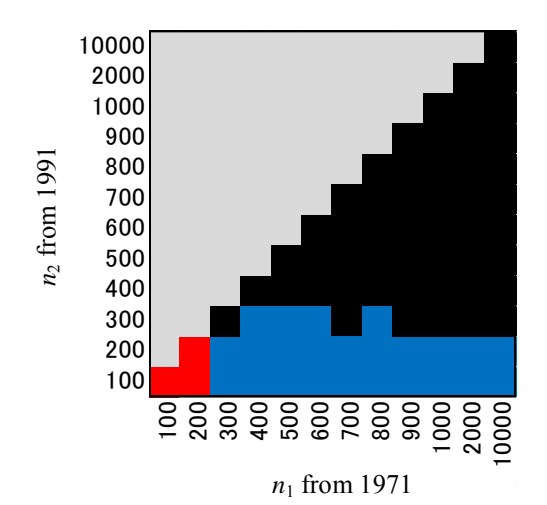
ここでは、 (y_1, y_2) =(1971, 1981)の結果のみを紹介する。 (y_1, y_2) =(1971, 1991),(1981, 1991)については紙幅の都合により省略し、必要な場合には本文で紹介する.

それぞれのパネルの中で、横軸は古い時点つまり1971年のサンプル数m、縦軸は新しい時点つまり1981年のサンプル数mを示している。各パネルの左上方にある灰色に塗りつぶされている領域はm < m (古い時点のサンプル数よりも新しい時点のサンプル数のほうが大きい)であり、今回の興味の対象外である。黒色で塗りつぶされている領域はz>1.96となり、図の左側の1~5と書かれているモデル更新法が、図の上のA~Eと書かれているモデル更新法よりも有意に良い予測精度をもつことを示している。なお、見やすくするために、sma、com、jnt、cst、bayの順に並べ替えた。

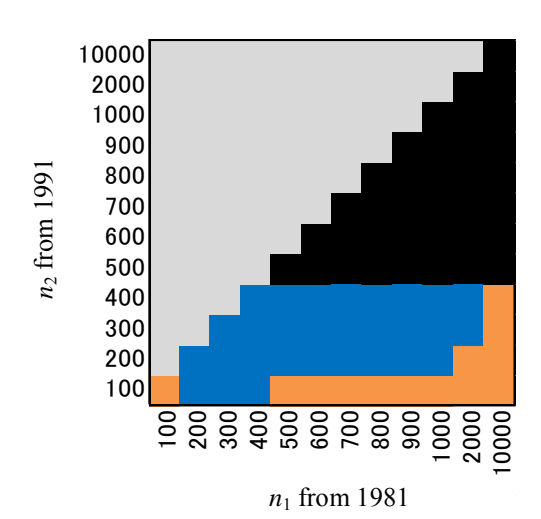




(a) $y_1 = 1971 \ge y_2 = 1981$



(b) $y_1=1971 \ge y_2=1991$



(c) $y_1 = 1981 \ge y_2 = 1991$

注:灰色はm < mであり、今回の興味の対象外、それ以外の領域はLmの平均値が最大となるモデル更新法で着色している。黒はsma、青はjm、橙はcst、赤はcomであり、bayは該当するものがなかった。

図―3 最も予測精度の平均が良いモデル

今回の結果で興味深いのは、図―2の右上のパネルにしか黒色で塗りつぶされたセルが見当たらないことである。つまり、2つのモデル更新法を比較したとき、一方のモデル更新法があるmとmのときには有意に良くて、別のmとmのときには有意に悪いということは1回もなかったということである。このことから、統計的検定によれば、モデル更新法は最も優れているものから、sma、com、jnt、cst、bayという順になった。このことは、1971と1991年の場合と1981と1991年の場合についても当てはまった。

smaについて、1行B列、1行C列、1行D列、1行E列のパネルで黒色に塗りつぶされているセルの合計が (y_1, y_2) = (1971, 1991)の場合に最も多くて、その後は(1971, 1981)、(1981, 1991)の順であった。中京都市圏における出勤交通行動は1971年から1981年に大きく変わり、その後、ややおだやかに1991年、2001年と推移したと考えられる。そのため、出勤交通行動における文脈は、違いの大きい順に(1971, 1991)、(1971, 1981)、(1981, 1991)となり、文脈の違いの大きいときには古いサンプルを利用する価値は少ないと考えられる。

このことから、統計的検定から判断すると、古い時点と新しい時点のデータを両方用いるモデル更新法の利用価値はないということになる。もし、2つの時点のデータを用いるモデル更新法の利用価値があるとするならば、その価値は統計的検定以外に求めなければならない。ここで、図一3に古い時点と新しい時点のサンプル数の様々な組み合わせにおいて、どのモデル更新法が最も高いLmの平均値をもたらしたかを示した。なお、ここでは(y1, y2)について(1971, 1981)だけではなく、(1971, 1991)、(1981, 1991)の場合についても、それぞれパネル(a)、(b)、(c)に示す。これによると、sma以外の方法が最も優れているのは次のような場合である。

- (1971, 1981)と(1971, 1991)の場合には、mとmがともに 小さい場合にはcomが最も良く、mは大きいがmが小 さい場合にはjntが良かった。
- (1981, 1991)の場合には、mは大きいがmが小さい場合にはcstが良く、mがそれよりも若干小さくmが若干大きい場合にはintが良かった。

1981と1991年では文脈が似ているため、定数項以外のパラメータの移転性が比較的高いと考えられるので、cstの入る余地があったと考えられる.

以上を見ると、新しい時点である一定のサンプルがあればsmaが最も良いと考えられる。1971と1981年では新しい時点のサンプルが2000あれば古い時点のサンプルがいくらであってもsmaが他のどの更新法よりも有意に良い(図—2の1行目)、700あれば古い時点のサンプル数によってはsmaが他のどの更新法よりも有意に良い(図—2の1行目)、400サンプルあれば有意ではないが古い

時点のサンプル数に関係なくsmaの予測精度が最も高い(図-3パネル(a)). なお,ここでの2000,700,400というサンプル数は,1971と1991年の場合には900,800,400であり,1981と1991年の場合には,10000,2000,500であった.

モデル更新法の採択の基準としてはまず、新しい時点でのサンプル数がどの程度あるかによる. 十分に多ければ、新しい時点のサンプルのみを用いるのが良い. 新しい時点のサンプル数が小さい場合には2時点のデータを同時に用いる意義がある. 古い時点と新しい時点の文脈に差がないときには、古い時点のサンプルが多ければTransfer scalingが、古い時点のサンプルが少なければJoint context estimationが優れている. 文脈に差があるときには、古い時点のサンプルが少ければJoint context estimationが、古い時点のサンプルが少ければJoint context estimationが、古い時点のサンプルが少ければCombined transfer estimationが優れている.

6. おわりに

本研究はさまざまなモデル更新法による予測精度の差異を検証した.検討したモデル更新法はTransfer scaling, Joint context estimation, Bayesian updating, Combined transfer estimation, Small sampleである.このうち最初の4つは古い時点の多数のデータと新しい時点の少数のデータの両方を用いるが、最後の1つは新しい時点の少数のデータしか用いない.本研究の目的はどのような場合に(具体的にはそれぞれの時点でのサンプル数がどのくらいの場合に)、どのモデル更新法選択の基準を示すことである.中京都市圏でのパーソントリップ調査データを用いることで、古い時点と新しい時点の組み合わせに関する3通り、それぞれの時点からのサンプル数の組み合わせに関する78通り、からなる合計234通りを検討した.

ブートストラップ法による予測精度の特徴は統計的な 検定の結果ではないが、次のように整理される.

- 古い時点のサンプル数を固定した場合,新しい時点のサンプル数が大きいほど予測精度が平均して優れていた。これは5つのモデル更新法に共通して見られた。
- 新しい時点のサンプル数を固定した場合,古い時点のサンプル数が大きいほど予測精度が高いことが Transfer scalingの場合において見られた.同様の傾向が古い時点のサンプル数が少ない場合のJoint context estimationにおいて見られた.古い時点のサンプル数が多い場合のJoint context estimationおよびBayesian updatingでは逆の傾向が見られた.

ブートストラップ法による予測精度の統計的な検定の結果,次の知見が得られた.

- Small sampleは他の4つの更新法よりも統計的に有意 に優れていることがあるが、その逆は決してない.
- 残された4つの更新法のうちCombined transfer estimationが他の3つの更新法よりも統計的に有意に優れていることがあるが、その逆は決してない.
- 残された3つの更新法のうちJoint context estimationが他の2つの更新法よりも統計的に有意に優れていることがあるが、その逆は決してない.
- 残された2つの更新法のうちTransfer scalingが統計的 に有意に優れていることがあるがその逆は決してない
- つまり、統計的な検定では、優れている順に、 Small sample、Combined transfer estimation、Joint context estimation、Transfer scaling、Bayesian updatingである。

古い時点のデータと新しい時点のデータを両方用いる モデル更新法は新しい時点のデータが少ない場合に意味 がある.このことから検討したモデル更新法の選択基準 は次の通りである.

- 新しい時点のサンプル数が一定以上あるときには Small sampleを用いる。
- 新しい時点のサンプル数が一定以上ないときは次の 2つに場合分けされる. 古い時点と新しい時点の文 脈に差がないときには、古い時点のサンプルが多け ればTransfer scalingを、古い時点のサンプルが少なけ ればJoint context estimationを用いる. 文脈に差がある ときには、古い時点のサンプルが多ければJoint context estimationを、古い時点のサンプルが少なければ Combined transfer estimationを用いる.

なお、今回の事例は3つの選択肢からなる多項ロジットモデルというシンプルなモデル構造を持っていた。モデルの複雑性が与える影響についても検討する必要がある。今回は手元にあるデータを用いたため、最も新しいデータでも14年前に収集されたものである。新しいデータを用い、近年のPeak carのような現象を対象とした分析も今後の課題である。このような研究により、効率的な調査設計を行うことができれば、費用や時間の制約が多い近年の交通調査において貢献が大きいと考える。

謝辞:本研究はJSPS科研費25380564の助成を受けている. データ使用に関して、中京都市圏総合都市交通計画協議 会と名古屋大学森川研究室の支援を受けた.

参考文献

- Dissanayake, D., Kurauchi, S., Morikawa, T. and Ohashi, S.: Inter-regional and inter-temporal analysis of travel behaviour for Asian metropolitan cities: Case studies of Bangkok, Kuala Lumpur, Manila, and Nagoya, *Transport Policy*, Vol. 19, No. 1, pp. 36–46, 2012.
- 2) Duffus, L.N., Alfa, A.S. and Soliman, A.H.: The reliability

- of using the gravity model for forecasting trip distribution, *Transportation*, Vol. 14, No. 3, pp. 175–192, 1987.
- Elmi, A.M., Badoe, D.A. and Miller, E.J.: Transferability analysis of work-trip-distribution models, *Transportation Research Record*, 1676, pp. 169–176, 1999.
- Sanko, N.: Travel demand forecasts improved by using cross-sectional data from multiple time points, *Transportation*, Vol. 41, No. 4, pp. 673–695, 2014.
- 5) Sanko, N., Dissanayake D., Kurauchi, S., Maesoba, H., Yamamoto, T. and Morikawa, T.: Inter-temporal analysis of household car and motorcycle ownership behaviors -The case in the Nagoya Metropolitan Area of Japan, 1981– 2001 -, IATSS Research, Vol. 33, No. 2, pp. 39–53, 2009.
- Hensher, D.A., Rose, J.M. and Greene, W.H.: Applied Choice Analysis: A Primer. Cambridge University Press, Cambridge, 2005.
- 7) 三古展弘:交通需要予測におけるデータの新しさと サンプル数のトレードオフ, 土木計画学研究・講演 集, No. 50 (CD-ROM), 2014.
- Sanko, N.: Trade-off between data newness and number of observations for travel demand forecasting, *Compendium*

- of Papers of the 94th Annual Meeting of the Transportation Research Board, Washington D.C., U.S.A., Jan. 2015.
- 9) 三古展弘:新しい小さいサンプルは古い大きいサンプルと同時に使うべきか:定数項の修正によるモデル更新の適用可能性,土木計画学研究・講演集,No.51(CD-ROM),2015.
- 10) Sanko, N.: Should small samples from recent time point be used with older data? Applicability of updating models by transfer scaling, to be presented at the hEART 2015.
- 11) Badoe, D.A. and Miller, E.J.: Comparison of alternative methods for updating disaggregate logit mode choice models, *Transportation Research Record*, 1493, pp. 90–100, 1995.
- Karasmaa, N. and Pursula, M.: Empirical studies of transferability of Helsinki metropolitan area travel forecasting models, *Transportation Research Record*, 1607, pp. 38–44, 1997.
- 13) Efron, B. and Tibshirani, R.J.: An Introduction to the Bootstrap. Chapman & Hall, London, 1993.

(2015.7.31 受付)

CRITEARIA OF SELECTING MODEL UPDATING METHODS FOR BETTER TEMPORAL TRANSFERABILITY

Nobuhiro SANKO